

- a) zie French blz 51 en 52. Als $y \ll x$ dan geldt $y \approx \frac{x^2}{2L}$ want $x^2 = 2Ly - y^2 \approx 2Ly$. Energiebehoud: $\frac{1}{2}mv^2 + mgy = E$. $v^2 = \left(\frac{dx}{dt}\right)^2 + \left(\frac{dy}{dt}\right)^2 \approx \left(\frac{dx}{dt}\right)^2$
 $\Rightarrow \frac{1}{2}M\left(\frac{dx}{dt}\right)^2 + \frac{1}{2}\frac{Mg}{L}x^2 = E$. $\frac{dE}{dt} = 0 \Rightarrow M\frac{d^2x}{dt^2} + M\frac{g}{L}x = 0 \Rightarrow \frac{d^2x}{dt^2} + \frac{g}{L}x = 0$
- b) $M\frac{d^2x}{dt^2} + \frac{Mg}{L}x + b\frac{dx}{dt} = F_0 \cos \omega t \Rightarrow \frac{d^2x}{dt^2} + \frac{b}{M}\frac{dx}{dt} + \frac{g}{L}x = \frac{F_0}{M} \cos \omega t$
 $Q = \frac{\omega_0}{\gamma} = \frac{M}{b} \sqrt{\frac{g}{L}}$
- c) zie French blz 84 en 85
- d) Grotere massa: ω_0 vermindert niet, γ wordt kleiner $\Rightarrow Q$ wordt groter.
 \Rightarrow Amplitude wordt groter en fase-overgang wordt steiler, maar fase zal wel gelijk blijven ($= \pi/2$)
 Grotere lengte: ω_0 wordt kleiner, γ blijft gelijk $\Rightarrow Q$ wordt kleiner \Rightarrow maximale amplitude bij ω_0 wordt kleiner. Fase wordt groter dan $\pi/2$, dus amplitude slingerbeweging zal veel kleiner worden.
- e) zie French blz 90, 99 en 100. Als resonantiecurve erg smal is, zullen de vrije oscillaties langzaam uitdoven, want de amplitude van deze oscillaties neemt af volgens: $A(t) = A_0 e^{-\gamma t/2}$ (formule 3-35) en geronden is dat $2A\omega \approx \gamma$.

Uitwerkingen Opgave 2

-a) $\cos^4 kx = (\cos^2 kx)^2 = (\frac{1}{2} + \frac{1}{2} \cos 2kx)^2 = \frac{1}{4} + \frac{1}{2} \cos 2kx + \frac{1}{4} \cos^2 2kx = \frac{1}{4} + \frac{1}{2} \cos 2kx + \frac{1}{4}(\frac{1}{2} + \frac{1}{2} \cos 4kx) = \frac{3}{8} + \frac{1}{2} \cos 2kx + \frac{1}{8} \cos 4kx.$

Dus $Z(x, y) = D + \frac{3}{8}H + \frac{1}{2}H \cos 2kx + \frac{1}{8}H \cos 4kx.$

Alle Fourier-componenten zijn dus nul, behalve $\frac{1}{2}a_0 = D + \frac{3}{8}H; a_2 = \frac{1}{2}H; a_4 = \frac{1}{8}H.$

b) Voortplantingssnelheid (fasesnelheid!) van de individuele Fourier-componenten is $v_n = \omega_n / k_n.$

$\omega_n = C \sqrt{k_n}$ (dispersierelatie) en $k_n = \frac{2\pi}{\lambda_n} = \frac{2n\pi}{L}.$

Derhalve $v_2 = C \sqrt{\frac{L}{2\pi}}$ en $v_4 = C \sqrt{\frac{L}{8\pi}}.$

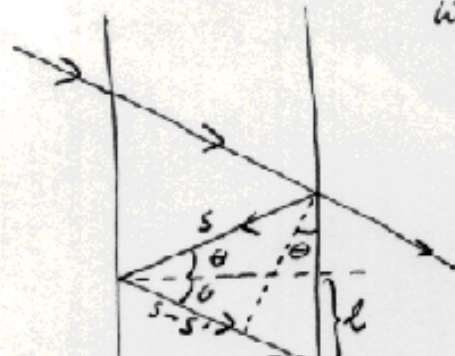
-c) Omdat de voortplantingssnelheid van de beide Fourier-componenten in het golfpatroon verschillend is, verandert de faserelatie van deze componenten, en daarmee de vorm van het golfpatroon (dat verkregen wordt d.m.v. Fourier-synthese).

-d) Uit b) volgt dat de tweede Fourier-component de vierde Fourier-component inhaalt met een relatieve snelheid $v_2 - v_4 = (\sqrt{2} - 1)C \sqrt{\frac{L}{2\pi}}.$

Het golfpatroon heeft weer de oorspronkelijke vorm als het verschil in de afstand afgelegd door de tweede Fourier-component en de vierde Fourier-component gelijk is aan de golflengte van de vierde Fourier-component (immers dan zijn beide componenten weer in fase). Dus na een tijd τ waarvoor geldt $\tau(v_2 - v_4) = \lambda_4 = L/4.$ Invullen van de gegeven waarden voor L en C levert $\tau = 1.34$ s.

Opgave 3. Uitwerking.

a.



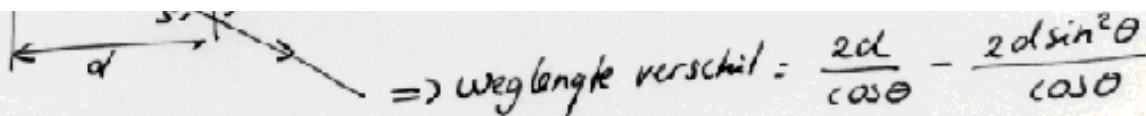
weglengthe verschil: $2s - s'$

$s = \frac{d}{\cos \theta}$

$\tan \theta = \frac{s-s'}{d}$

$\sin \theta = \frac{s-s'}{2d \tan \theta}$

$\Rightarrow s' = 2d \tan \theta \sin \theta = \frac{2d \sin^2 \theta}{\cos \theta}$



= $2d \cos\theta$

$\rightarrow \delta = \frac{2\pi \cdot 2d \cos\theta}{\lambda} = \frac{4\pi d \cos\theta}{\lambda}$

(P.S. Welis waar bij reflectie een fase sprong van π , maar dat gebeurt 2x, dus 2π !

b $\delta = 2\pi m$

$\lambda m = 2d \cos\theta$

c $\left. \begin{aligned} \lambda_1 m &= 2d \cos\theta_1 \\ \lambda_2 n &= 2d \cos\theta_1 \end{aligned} \right\} \lambda_1 m = \lambda_2 n \quad (1)$

$\left. \begin{aligned} \lambda_1 (m+201) &= 2d \cos\theta_2 \\ \lambda_2 (n+200) &= 2d \cos\theta_2 \end{aligned} \right\} \lambda_1 (m+201) = \lambda_2 (n+200) \quad (2)$

d Gebruik (1) en (2) en vul in $\lambda_1 = 600 \Rightarrow \lambda_2 = 603 \text{ nm}$

e overgang van $n=3$ naar $n=1,206$ of $n=2,1$

In beide gevallen $n = \frac{n_2}{n_1} < 1 \Rightarrow$ interne reflectie

f als $\theta > \theta_{\text{crit}}$: TM-licht wordt volledig gereflecteerd

als $\theta = \theta_{\text{Brewster}}$: TM-licht wordt volledig doorgelaten

g Voor λ_1 $\theta_{\text{Brewster}} = 21,9^\circ$
 ~~θ_{crit}~~ $\theta_{\text{crit}} = 23,7^\circ$

λ_2 $\theta_{\text{Brewster}} = 35^\circ$

$\theta_{\text{crit}} = 44,43^\circ$

als $\theta = 35^\circ \Rightarrow \lambda_2$ wordt volledig doorgelaten
 λ_1 wordt volledig gereflecteerd.

4 a) $\vec{P} = -Ne\vec{z} = -e\vec{E} - s\vec{z} \Rightarrow \vec{P} = \frac{Ne^2}{s} \vec{E}$

b) $m \frac{d^2 \vec{z}}{dt^2} + b \frac{d\vec{z}}{dt} + s\vec{z} = -e\vec{E}$ mit $\vec{E} = \vec{E}_0 e^{-i\omega t}$ $\vec{z} = \vec{z}_0 e^{-i\omega t}$
 $\rightarrow -m\omega^2 \vec{z} + b(-i\omega \vec{z}) + s\vec{z} = -e\vec{E} \Rightarrow \vec{P} = -Ne\vec{z} = \frac{Ne^2}{-m\omega^2 - i\omega b + s} \vec{E}$

c) $\nabla^2 \vec{E} = \left(\frac{\partial^2}{\partial x^2} + \frac{\partial^2}{\partial y^2} + \frac{\partial^2}{\partial z^2} \right) \vec{E} = \frac{\partial^2}{\partial z^2} \vec{E}_0 (e^{i(kz - \omega t)}) = -k^2 \vec{E} = \frac{1}{c^2} \left(1 + \frac{Ne^2}{m\epsilon_0} \frac{1}{\omega_0^2 - \omega^2 - i\omega b/m} \right) \cdot -\omega^2 \vec{E}$
 $\rightarrow k^2 = \frac{\omega^2}{c^2} \left(1 + \frac{Ne^2}{m\epsilon_0} \frac{1}{\omega_0^2 - \omega^2 - i\omega b/m} \right)$ $K = k + i\alpha \rightarrow \vec{E} = \vec{E}_0 e^{i(kz - \omega t)} \cdot e^{-\alpha z}$

d) Ab $\omega \approx \omega_0$, want $\frac{1}{\omega_0^2 - \omega^2 - i\frac{b}{m}\omega} = \frac{\omega_0^2 - \omega^2 + i\frac{b}{m}\omega}{(\omega_0^2 - \omega^2)^2 + (\frac{b}{m}\omega)^2} \rightarrow \alpha$ maximal ab $\omega \approx \omega_0$.
optimal *intensity*